

2 Термические условия Дальневосточных морей

Японское море

Весь март в южной и юго-западной частях акватории наблюдались положительные аномалии температуры поверхности моря с величинами до $+2,8^{\circ}\text{C}$ в первую и вторую декады и до $+3,0^{\circ}\text{C}$ в третью. Центральная и северная части моря были покрыты водами с значениями аномалий от $-1,4^{\circ}\text{C}$ в начале месяца и до $+1,0^{\circ}\text{C}$ в конце месяца (рис. 2-1).

Охотское море

Весь март 2017 года распределение температуры поверхности моря по всему Охотскому морю было приближено к климатическому. С величинами аномалий в пределах от $-0,6^{\circ}\text{C}$ до $+0,6^{\circ}\text{C}$ (рис. 2-2).

Берингово море

На северной, мелководной части акватории Берингова моря наблюдались положительные аномалии температуры поверхности моря с максимальными значениями до $+2,2^{\circ}\text{C}$ в течении всего марта. На остальной части акватории распределение температуры поверхности моря было приближено к климатическому, с величинами аномалий в пределах от $-0,2^{\circ}\text{C}$ до $+1,0^{\circ}\text{C}$ (рис. 2-3).

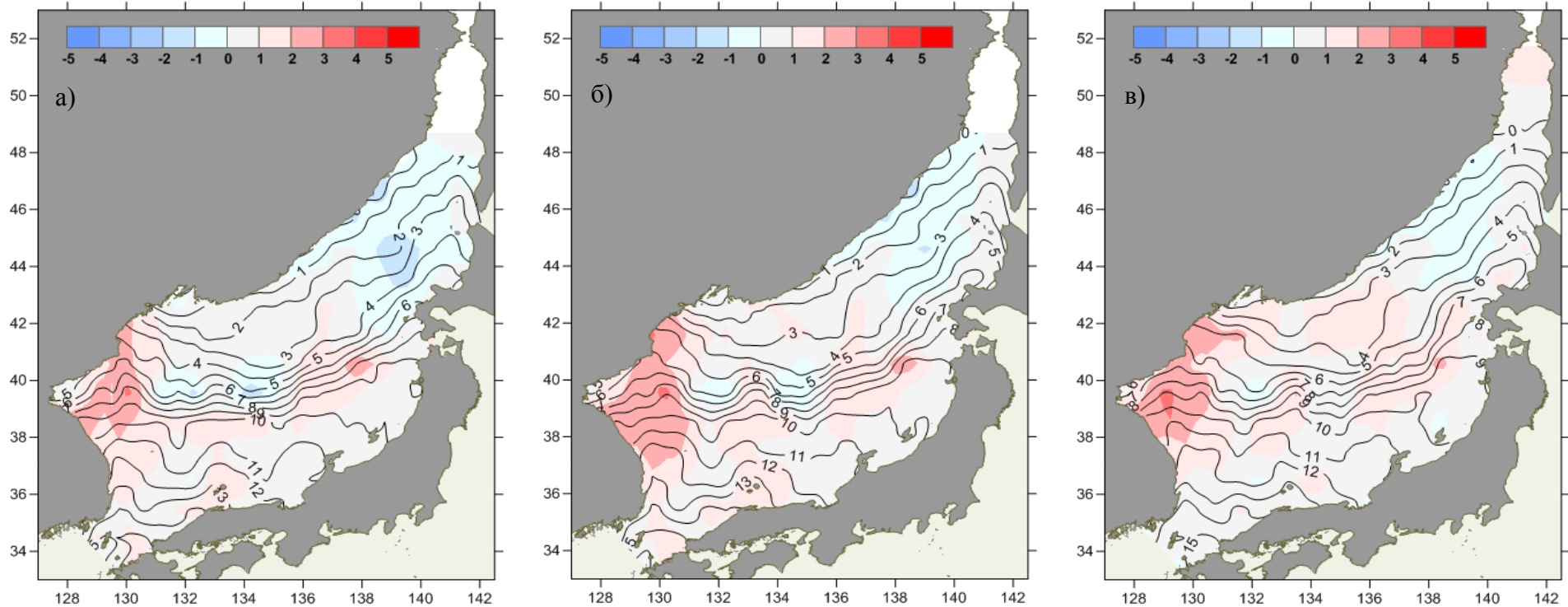


Рис. 2-1 Средняя декадная температура воды (изолинии) и её аномалия (изополосы), Японское море, декады марта: 1 – а, 2 – б, 3 – в

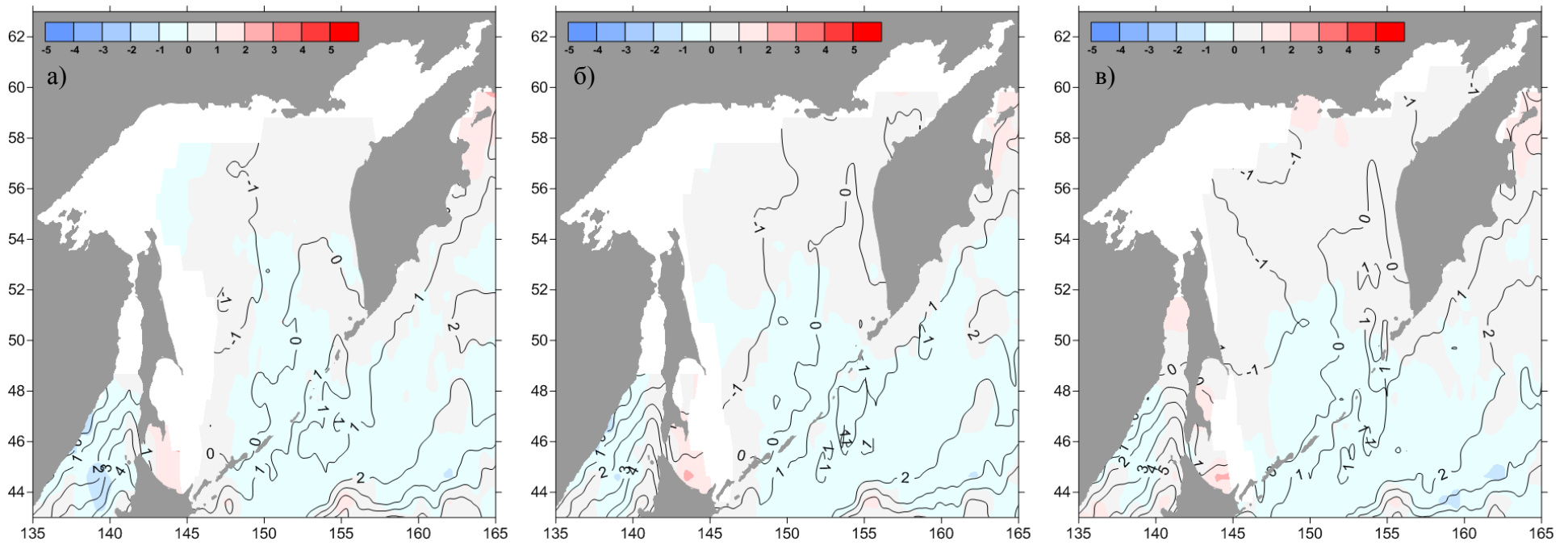


Рис. 2-2 Средняя декадная температура воды (изолинии) и её аномалия (изополосы), Охотское море, декады марта: 1 – а, 2 – б, 3 – в

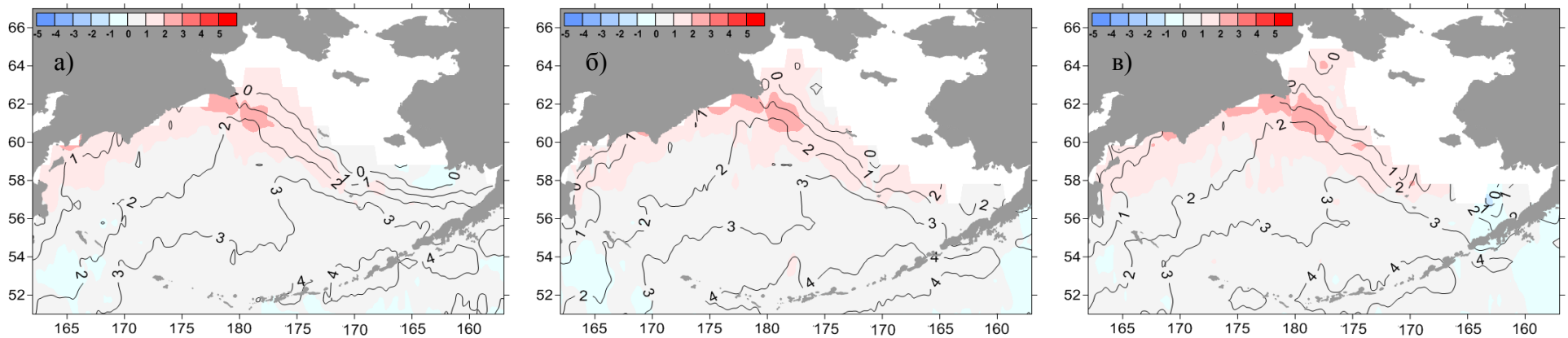


Рис. 2-3 Средняя декадная температура воды (изолинии) и её аномалия (изополосы), Берингово море, декады марта: 1 – а, 2 – б, 3 – в